

## НОВЫЕ ВОЗМОЖНОСТИ ВТОРОЙ ВЕРСИИ ПАКЕТА КОМПЬЮТЕРНОЙ АЛГЕБРЫ CADABRA

© 2019 г. Д. С. Кулябов<sup>a,b,\*</sup>, А. В. Королькова<sup>a</sup>, Л. А. Севастьянов<sup>a,c</sup>

<sup>a</sup>Кафедра прикладной информатики и теории вероятностей, Российский университет дружбы народов  
117198 Россия, Москва, ул. Миколохо-Маклая, 6

<sup>b</sup>Лаборатория информационных технологий, Объединенный институт ядерных исследований  
141980 Россия, Московская область, Дубна, ул. Жолио-Кюри, 6

<sup>c</sup>Лаборатория теоретической физики, Объединенный институт ядерных исследований  
141980 Россия, Московская область, Дубна, ул. Жолио-Кюри, 6

\*E-mail: kulyabov-ds@rudn.ru

Поступила в редакцию 02.09.2018 г.

После доработки 02.09.2018 г.

Принята к публикации 20.08.2018 г.

В определенных научных областях есть потребность использования операций над тензорами. Для облегчения кропотливой работы над тензорными расчетами можно использовать системы компьютерной алгебры. В качестве основной системы тензорной компьютерной алгебры авторами данной работы в своих научных исследованиях уже несколько лет используется система Cadabra. Недавно вышла работоспособная вторая версия этой программы. В ней сделан ряд улучшений, которые можно позиционировать как революционные. Наиболее яркие улучшения касаются реализации компонентных тензорных операций и смены идеологии программной реализации системы по сравнению с первой версией Cadabra. В данной статье дается краткий обзор ключевых улучшений в системе Cadabra.

DOI: 10.1134/S0132347419020079

### I. ВВЕДЕНИЕ

Системы компьютерной алгебры с поддержкой операций над тензорами можно условно разделить на три группы [1]. К первой группе относят универсальные системы тензорных вычислений, которые создавались в основном для применения в задачах общей теории относительности. В таких системах упор делается на вычисление характерных величин римановой геометрии (символы Кристоффеля, тензор Римана) [2, 4]. Ко второй группе относят системы тензорной компьютерной алгебры для расчетов в квантовой теории поля [5, 9]. В них упор делается на вычисления с использованием дираковских спиноров, а также используются простые симметрии. Третья группа систем тензорной компьютерной алгебры создавалась скорее как фреймворк для произвольных тензорных расчетов. В них меньше готовых шаблонов, но есть более выразительные средства для конструирования новых объектов. Именно к этой группе и относится система Cadabra, особенностям реализации которой посвящена данная работа.

Система Cadabra на данный момент имеет две версии. В первой версии Cadabra (далее Cadabra1)

есть существенные отличия от других систем тензорной компьютерной алгебры, в частности:

- использование  $T_E^X$ -нотации при записи выражений;
- удобство определения произвольного типа тензоров;
- использование диаграмм Юнга для описания симметричных свойств тензоров.

Тем не менее Cadabra1 имеет и существенные недостатки. В частности, в этой версии отсутствует возможность компонентных тензорных вычислений. Кроме того, монолитная и косная программная структура самой системы не дает возможности надеяться на реализацию компонентных вычислений в ближайшем будущем. Однако, революционный шаг, совершенный при реализации второй версии системы (далее Cadabra2), а именно использование экосистемы Python, позволило решить указанные проблемы. На наш взгляд именно комбинация “компонентные вычисления + экосистема Python”, реализованная во второй версии, является революционным улучшением системы Cadabra.

К сожалению, документация по системе Cadabra оставляет желать лучшего. На сайте самой системы (<https://cadabra.science/>) представлен достаточно небольшой набор примеров. Более существенную информацию можно получить из специализированных исследовательских статей, в которых можно встретить возможное применение системы Cadabra [10, 15].

В данной работе предлагается небольшой обзор новых возможностей второй версии пакета компьютерной алгебры Cadabra. Структура статьи следующая. В разделе II рассмотрены особенности реализации первой и второй версий Cadabra. В разделе III приведено описание процесса варьирования действия для электромагнитного поля без источников с целью сделать краткий обзор синтаксиса Cadabra2. Если читатель хочет сравнить синтаксис Cadabra2 с синтаксисом Cadabra1, то мы рекомендуем ознакомиться с более ранними работами [13, 15]. В разделе IV рассмотрена одна из важнейших особенностей Cadabra2 – прозрачное взаимодействие с универсальной скалярной системой компьютерной алгебры SymPy. В разделе V описывается основное, на наш взгляд, нововведение в Cadabra2 – компонентные вычисления, рассмотренные на примере нахождения основных величин для общей теории относительности, а именно связности Кристоффеля и разных кривизн. В завершение статьи, в разделе VI приводится пример, демонстрирующий работу с графикой в Cadabra2.

Заметим, что при реализации примеров были использованы элементы кода из документации по Cadabra2 (<https://cadabra.science/tutorials.html>).

## II. ОСОБЕННОСТИ РЕАЛИЗАЦИИ CADABRA1 И CADABRA2

Каждая система компьютерной алгебры имеет свою специфику в реализации. Можно выделить несколько уровней при реализации:

- нотация;
- язык манипуляции;
- язык реализации;
- язык расширений.

Не у каждой системы компьютерной алгебры можно выделить все эти уровни. Так, у большинства систем нотация строится на основе языка манипуляции.

У пакета Cadabra2, также как и у пакета Cadabra1 нотация построена на основе  $T_E^X$ -нотации (правильнее сказать,  $T_E^X$ -подобной нотации). Для этого выделяется некоторое подмножество символов  $T_E^X$ , как то буквы разных алфавитов, симво-

лы производных, интеграла и так далее. Главное, что индексы обозначаются с помощью символов  $_$  и  $^$ , как привычно пользователям системы  $T_E^X$ .

Язык манипуляций служит собственно для работы в системе. Синтаксис Cadabra1 достаточно простой и скорее приспособлен для облегчения лексического и синтаксического разбора текста программы, чем для удобства пользователя. Такой подход к конструированию языков использовался в ранние годы развития вычислительной техники (например, в языках Shell, Perl). В Cadabra2 произошел качественный скачок – система перешла на язык Python. Соответственно и все операции в Cadabra2 выполняются в Python-подобном синтаксисе.

Реализация системы Cadabra1 выполнена на языке C++ с использованием системы компьютерной алгебры LiE [16] (на данный момент компиляция системы LiE вызывает некоторые трудности). Основное предназначение – работа с группами Ли, на которых основаны операции с симметриями тензоров. Следует заметить, что фактически вся система была реализована одним человеком. Это большой труд. Но наличие только одного автора и монолитная программная структура системы вызвала тревогу за дальнейшую судьбу всей системы.

В версии Cadabra2 автор принципиально изменил свой подход к структуре системы. Он взял направление на интеграцию ее с экосистемой Python. Система все также написана на языке C++, но в качестве языка-клея применяется Python, который также используется в качестве языка манипуляций. При этом Python же может быть использован как язык написания расширений.

Инфраструктура Python открывает доступ к огромному количеству научных библиотек, в том числе и к проекту SciPy [17]. Это позволяет использовать библиотеки SciPy бесшовно, прозрачно для пользователя. Именно это и позволило на наш взгляд сделать системе Cadabra2 революционный шаг.

## III. ЭЛЕМЕНТЫ СИНТАКСИСА CADABRA2

Напомним некоторые элементы синтаксиса Cadabra1 и Cadabra2. В качестве примера рассмотрим получение уравнения Максвелла без источников [18]:

$$\partial_\mu F^{\mu\nu} = 0, \quad (1)$$

варьируя действие

$$S = -\frac{1}{4} \int F_{\mu\nu} F^{\mu\nu} x. \quad (2)$$

При этом тензор Максвелла  $F_{\mu\nu}$  представим через векторный потенциал:

$$F_{\mu\nu} = \partial_\mu A_\nu - \partial_\nu A_\mu. \quad (3)$$

Напомним, что обе версии Cadabra используют нотацию  $T_E^X$ . Во второй версии появилась возможность использовать функционал языка Python, в частности, можно задавать функции прямо в тексте программы, написанной на Cadabra2. Заметим, что также как и Cadabra1, Cadabra2 по умолчанию практически не обрабатывает получающиеся выражения (разве что приводит подобные), эта обработка отдана на откуп самому пользователю. Если требуется применить какой-то набор правил ко всем используемым выражениям, то можно задать функцию `post_process`, выполняемую после каждой операции (фактически, `post_process` является просто функцией Python):

```
def post_process (ex):
    sort_product (ex)
    canonicalise (ex)
    collect_terms (ex)
```

В экстремальном случае эту функцию можно сделать пустой, убрав таким образом любую обработку выражений.

Интерфейс Cadabra2 выполнен по идеологии блокнота, то есть наряду с программным кодом можно указывать и пояснения. Правда, в отличие от iPython [19] текстовая часть пишется не в синтаксисе Markdown [20], а в синтаксисе  $L_A^T E^X$ .

Объекту Cadabra2 можно приписать свойство, имеющее в свою очередь некоторый набор настроек. Естественно, раз речь идет о тензорах, наиболее полезное свойство – `Indices`. Настройка `position=free` дает возможность системе самой поднимать и опускать индексы:

```
{\mu, \nu, \rho} :: Indices (position=free).
```

```
x :: Coordinate.
```

```
\partial {#} :: Derivative.
```

Здесь знак # является шаблоном подстановки. Знак точки в конце выражения подавляет вывод (как часто принято в системах компьютерной алгебры).

Для работы с абстрактными индексами необходимо учитывать симметричные свойства тензоров. Кроме того, при дифференцировании и интегрировании необходимо учитывать зависимость объектов от координат:

```
F_{\mu\nu} :: AntiSymmetric;
```

```
F_{\mu\nu} :: Depends (x).
```

```
A_{\mu} :: Depends (x, \partial{#}).
```

```
\delta{#} :: Accent;
```

```
Attached property AntiSymmetric to F_{\mu\nu}.
```

```
Attached property Accent to \delta{#}.
```

В данном случае знак вариации  $\delta$  рассматривается как модификатор, а не как объект со свойством `Derivative`, и не вносит никакой дополнительной вычислительной семантики.

В рассматриваемом нами примере  $F_{\mu\nu}$  является тензором Максвелла. Распишем его через векторный потенциал  $A_\mu$  (3):

$$F := F_{\{\mu\nu\}} = \text{partical}_{\{\mu\}}\{A_{\nu}\} - \text{partical}_{\{\nu\}}\{A_{\{\mu\}}\};$$

$$F_{\mu\nu} = \partial_\mu A_\nu - \partial_\nu A_\mu.$$

Здесь знаком := задается метка строки (в нашем случае это  $F$ ). Метка именуется выражение для удобства ссылки на него в последствии.

Далее зададим действие для электромагнитного поля (2):

$$S := -1/4 \int F^{\{\mu\nu\}} F_{\{\mu\nu\}} dx$$

$$-1/4 \int F^{\mu\nu} F_{\mu\nu} dx.$$

Путем подстановки перепишем действие через векторный потенциал  $A_\mu$ :

```
substitute (S, F);
```

$$-1/4 \int (\partial_\mu A_\nu - \partial_\nu A_\mu)(\partial^\mu A^\nu - \partial^\nu A^\mu) dx.$$

После этого посмотрим вид действия:

```
S;
```

$$-1/4 \int (\partial_\mu A_\nu - \partial_\nu A_\mu)(\partial^\mu A^\nu - \partial^\nu A^\mu) dx.$$

Значение действия в этом выражении не такое, какое мы задали изначально. Оно стало таким, каким мы его получили после последних вычислений. И это немного необычно. Дело в том, что большинство систем компьютерной алгебры реализованы на функциональных языках программирования или придерживаются функциональной парадигмы, в рамках которой переменные обладают свойством иммутабельности. В данном же случае метка ведет себя как переменная в императивных языках программирования (собственно, Python и является императивным языком). Это делает работу в Cadabra2 необходимо линейной: нельзя произвольно передвигаться по блокноту и производить вычисления в произвольном месте.

Проварьируем действие:

```
vary(S, $A_{\mu} -> \delta{A_{\mu}});
```

$$-\frac{1}{4} \int ((\partial^\mu A^\nu - \partial^\nu A^\mu)(\partial_\mu \delta A_\nu - \partial_\nu \delta A_\mu) + (\partial_\mu A_\nu - \partial_\nu A_\mu)(\partial^\mu \delta A^\nu - \partial^\nu \delta A^\mu)) dx.$$

Здесь мы видим пример использования не метки, а непосредственно выражения. Для этого мы окружаем выражение символами доллара (\$), как делается в обычном  $T_E X^e$ .

Далее раскроем произведения и приведем подобные:

```
distribute (S);
```

$$-\frac{1}{4} \int (4\partial^\mu A^\nu \partial_\mu \delta A_\nu - 4\partial^\mu A^\nu \partial_\nu \delta A_\mu) dx.$$

Затем проинтегрируем по частям:

```
integrate_by_parts(S, $\delta A_{\mu} \{ \backslash \mu \} \$);
```

$$-\frac{1}{4} \int (-4\delta A^\mu \partial^\nu (\partial_\nu A_\mu) + 4\delta A^\mu \partial^\nu (\partial_\mu A_\nu)) dx.$$

Интегрирование по частям в данном случае является достаточно формальным действием, использующим только свойство Derivative объекта.

Еще раз выполним подстановку, а затем раскроем произведения и приведем подобные:

```
substitute (_, $\partial_{\nu} \{ \backslash \mu \} \{ A_{\nu} \{ \backslash \nu \} \} -> 1/2 \partial_{\nu} \{ \backslash \mu \} \{ A_{\nu} \{ \backslash \nu \} \} + \leftrightarrow 1/2 F_{\nu \{ \backslash \mu \} \{ \backslash \nu \} } + 1/2 \partial_{\nu} \{ \backslash \mu \} \{ A_{\nu} \{ \backslash \mu \} \} \$);
```

$$-\frac{1}{4} \int \left( -4\delta A^\mu \partial^\nu \left( \frac{1}{2} \partial_\nu A_\mu - \frac{1}{2} F_{\mu\nu} + \frac{1}{2} \partial_\mu A_\nu \right) + 4\delta A^\mu \partial^\nu \left( \frac{1}{2} \partial_\mu A_\nu + \frac{1}{2} F_{\mu\nu} + \frac{1}{2} \partial_\nu A_\mu \right) \right) dx$$

```
distribute (_);
```

$$-\int \delta A^\mu \partial^\nu F_{\mu\nu} dx.$$

Здесь специальная метка \_ указывает на предыдущее выражение.

В результате получим искомое уравнение Максвелла (1):

$$\partial^\nu F_{\mu\nu} = 0.$$

Таким образом показано, что синтаксис языка манипуляции выражениями в системе Cadabra2 базируется на синтаксисе языка Python и он более привычен, чем синтаксис языка Cadabra1.

#### IV. ВЗАИМОДЕЙСТВИЕ CADABRA С SYMPY

Тензорные системы компьютерной алгебры имеют в своем арсенале достаточно небольшое

число поддерживаемых операций. Их достаточно для основных манипуляций с тензорами в формализме абстрактных индексов и в безындексном формализме. Но для многих операций (например, для полноценной реализации компонентных вычислений) требуется возможность использования скалярных операций. Если тензорная система компьютерной алгебры реализована в рамках универсальной системы компьютерной алгебры, то проблем не возникает. Однако Cadabra является отдельной системой. В Cadabra1 реализован, хотя и неудобный в применении, механизм для связи с универсальной системой компьютерной алгебры Maxima – создается впечатление, что этот механизм реализован только как “доказательство концепции”.

В Cadabra2 связь с универсальной системой компьютерной алгебры реализована через SymPy [21]. Причем эта связь бесшовная: для пользователя использование данного механизма проходит незаметно. Впрочем, это один из результатов реализации системы Cadabra2 на языке Python.

Продемонстрируем применение SymPy в Cadabra2 на примере, в котором нам необходимо вычислить интеграл:

$$\int \frac{1}{x} dx.$$

Основная функция явного вызова SymPy – map\_sympy(). Эта функция имеет побочное действие: она изменяет значение аргумента. Впрочем, как мы уже обсуждали, отсутствие иммутабельности является особенностью системы Cadabra2. Рассмотрим простейший вызов этой функции:

```
ex := \int{1/x}{x};
```

$$\int x^{-1} dx$$

```
map_sympy(_);
```

```
log(x).
```

Для того, чтобы убедиться в наличии побочного действия, посмотрим текущее значение выражения ex:

```
ex;
```

```
log(x).
```

Мы увидим, что значение ex изменилось.

Можно передать значение выражения не просто в систему SymPy, а вызвать для его обработки конкретную функцию. Например, в рассматриваемом нами случае можно вызвать функцию integrate среды SymPy:

```
ex := 1/x;
```

$$x^{-1}.$$

Вторым аргументом функции `map_symPy()` идёт имя конкретной функции SymPy:

```
map_symPy(ex, "integrate");
```

$$\log(x)$$

```
ex;
```

$$\log(x).$$

Здесь еще раз убеждаемся в наличии побочного действия функции `map_symPy()`.

В рамках языка Python есть несколько вариантов выполнения одного и того же действия. Естественно, эта возможность есть и в Cadabra2. Рассмотрим следующие варианты исключительно как потенциальные возможности, а не как руководство к действию.

Возможно использование метода класса `_symPy_()`:

```
ex := \int{1/x}{x};
```

$$\int x^{-1} dx.$$

Воспринимая метку `ex` как объект, вызовем метод `_symPy_()`:

```
ex._symPy_();
```

$$\log(x)$$

Проверим состояние среды:

```
ex;
```

$$\int x^{-1} dx.$$

Видим, что состояние среды не изменилось, то есть метод класса `_symPy_()` не имеет побочного действия.

Кроме того, можно использовать функцию `symPy` с методом, соответствующим вызываемой функции среды SymPy:

```
ex := 1/x;
```

$$x^{-1}.$$

Вызовем функцию `symPy` с методом `integrate`:

```
symPy.integrate(ex);
```

$$\log(x).$$

Обратим внимание, что данная функция всегда требует указания конкретного метода, поэтому мы не смогли бы применить ее в предыдущем случае.

Опять проверим состояние среды:

```
ex;
```

$$x^{-1}.$$

Убеждаемся, что функция `symPy` не обладает побочным действием.

Базируясь на приведенных выше примерах, можно сделать вывод, что взаимодействие с SymPy в Cadabra2 реализовано достаточно элегантно. Но основное достоинство этой операции заключается на наш взгляд в ее тесной интеграции с системой, например, для реализации компонентных вычислений (см. раздел V).

## V. КОМПОНЕНТНЫЕ ВЫЧИСЛЕНИЯ В CADABRA2

В качестве примера компонентных тензорных операций получим кривизну  $R$  на сфере  $S^2$  радиуса  $r$ :

$$g_{\alpha\beta} = \text{diag}(r^2, r^2 \sin^2 \vartheta).$$

Для этого получим значения для символов Кристоффеля  $\Gamma_{\mu\nu}^\alpha$ , тензора Римана  $R_{\beta\mu\nu}^\alpha$  и тензора Риччи  $R_{\alpha\beta}$  [18, 22].

Зададим координаты и набор меток для индексов. При этом укажем, какие значения данные метки принимают:

```
{\theta, \varphi} :: Coordinate;
```

```
{\alpha, \beta, \gamma, \delta, \rho, \sigma, \mu, \nu, \lambda} ::
```

```
Indices (values={\varphi, \theta}, position=fixed);
```

```
\partial_{\#} :: PartialDerivative;
```

Attached property Coordinate to  $[\theta, \varphi]$ .

Attached property Indices (position fixed) to  $[\alpha, \beta, \gamma, \delta, \rho, \sigma, \mu, \nu, \lambda]$ .

Attached property PartialDerivative to  $\partial\#$ .

Затем зададим тензор  $g$  со свойством `Metric` и аналогичным образом зададим обратную метрику:

```
g_{\alpha\beta} :: Metric.
```

```
g^{\alpha\beta} :: InverseMetric.
```

В данном случае достаточно задать компоненты для самой метрики. Компоненты для обратной метрики рассчитываются с помощью функции `complete`:

```
g:={ g_{\theta\theta} = r**2,
      g_{\varphi\varphi} = r**2 \sin(\theta)**2
```

```
  <- }.
```

```
complete (g, $g^{\alpha\beta}$);
```

$$[g_{\theta\theta} = r^2, g_{\varphi\varphi} = r^2 (\sin\theta)^2, g^{\varphi\varphi} = (r^2 (\sin\theta)^2)^{-1}, g^{\theta\theta} = r^{-2}]$$

Запишем определение символов Кристоффеля

$\Gamma_{\mu\nu}^\alpha$ :

```
Gamma := \Gamma^{\alpha}_{\mu\nu} = 1/2 g^{\alpha\beta} (\partial_{\nu} \{
```



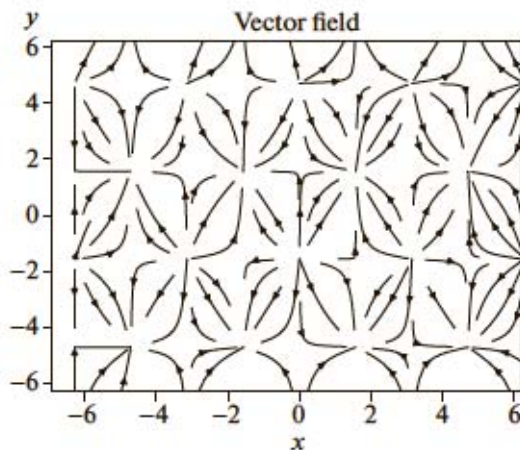


Рис. 1. Изображение векторного поля (4), полученное с помощью matplotlib.

отсчеты по осям одинаковы, то будем использовать только значения для  $x$ :

```
x = np.arange(-2*np.pi, 2*np.pi, 0.1)
u = np.sin(x)*np.cos(x)
v = np.cos(x)
uu, vv = np.meshgrid(u,v)
```

Функция `meshgrid` из пакета `numpy` создает прямоугольную сетку из двух массивов (в нашем случае из  $u$  и  $v$ ).

Теперь, собственно, построим векторное поле с помощью функции `streamplot` из пакета `matplotlib`:

```
fig = plt.figure()
plt.streamplot(x, x, uu, vv, color='black')
plt.title('Vector field')
plt.xlabel('x')
plt.ylabel('y')
```

Мы можем как сохранить получившийся график, так и отобразить его в рабочем блокноте:

```
fig.savefig("plot.pdf")
display(fig)
```

В результате получим изображение векторного поля (см. рис. 1).

Возможно в будущем в `Cadabra` появятся более полезные приложения, нежели мы продемонстрировали в этом простом примере.

## VII. ЗАКЛЮЧЕНИЕ

В результате можно сделать следующие выводы. Основным прорывом системы `Cadabra2` с точки зрения пользователя тензорной системы компьютерной алгебры является реализация компонентных тензорных вычислений. Таким образом система охватывает весь спектр необходимых тен-

зорных операций. С точки же зрения разработчика основным нововведением является переписывание системы с использованием языка `Python` и всей экосистемы этого языка. Это позволяет надеяться на рост интереса к системе `Cadabra2` при решении задач, связанных с операциями над тензорами.

Публикация подготовлена при поддержке Программы РУДН “5-100” и при финансовой поддержке РФФИ в рамках научных проектов № 16-07-00556, 18-07-00567, 18-51-18005.

## СПИСОК ЛИТЕРАТУРЫ

1. *MacCallum M.A.H.* Computer algebra in gravity research // \BibEmph{LivingReviewsinRelativity}. 2018. V. 21. № 1. P. 1–93.
2. *Ilyn V., Kryukov A.* ATENSOR – REDUCE program for tensor simplification // \BibEmph{ComputerPhysicsCommunications}. 1996. V. 96. № 1. P. 36–52.
3. *Gómez-Lobo A.G.P., Martín-García J.M.* Spinors: A Mathematica package for doing spinor calculus in General Relativity // \BibEmph{ComputerPhysicsCommunications}. 2012. V. 183. № 10. P. 2214–2225. arXiv: 1110.2662.
4. *MacCallum M.* Computer Algebra in General Relativity // \BibEmph{InternationalJournalofModernPhysicsA}. 2002. V. 17. № 20. P. 2707–2710.
5. *Bolotin D.A., Poslavsky S.V.* Introduction to Redberry: the Computer Algebra System Designed for Tensor Manipulation. 2015. P. 1–27. arXiv: 1302.1219.
6. *Poslavsky S., Bolotin D.* Redberry: a computer algebra system designed for tensor manipulation // \BibEmph{JournalofPhysics: ConferenceSeries}. 2015. V. 608. № 1. P. 012060. arXiv: 1302.1219.
7. *Fliegner D., Retery A., Vermaseren J. a. M.* Parallelizing the Symbolic Manipulation Program FORM Part I: Worstation Clusters and Message Passing. 2000. arXiv: hep-ph/0007221.
8. *Heck A.* FORM for Pedestrians. 2000.
9. *Tung M.M.* FORM Matters: Fast Symbolic Computation under UNIX // \BibEmph{ComputersandMathematicswithApplications}. 2005. V. 49. № 7–8. P. 1127–1137. arXiv: cs/0409048.
10. *Peeters K.* Introducing Cadabra: a symbolic computer algebra system for field theory problems. 2007. arXiv: hep-th/0701238.
11. *Peeters K.* Cadabra: a field-theory motivated symbolic computer algebra system // \BibEmph{ComputerPhysicsCommunications}. 2007. V. 176. № 8. P. 550–558. arXiv: cs/0608005.
12. *Brewin L.* A Brief Introduction to Cadabra: A Tool for Tensor Computations in General Relativity // \BibEmph{ComputerPhysicsCommunications}. 2010. V. 181. № 3. P. 489–498. arXiv: 0903.2085.
13. *Sevastianov L.A., Kulyabov D.S., Kokotchkova M.G.* An Application of Computer Algebra System Cadabra to Scientific Problems of Physics // \BibEmph{PhysicsofParticlesandNucleiLetters}. 2009. V. 6. № 7. P. 530–534.
14. *Korol'kova A.V., Kulyabov D.S., Sevast'yanov L.A.* Tensor Computations in Computer Algebra Systems // \

- BibEmph{ProgrammingandComputerSoftware}. 2013. V. 39. № 3. P. 135–142. arXiv: 1402.6635.
15. *Kulyabov D.S.* Using two Types of Computer Algebra Systems to Solve Maxwell Optics Problems // \BibEmph{ProgrammingandComputerSoftware}. 2016. V. 42. № 2. P. 77–83. arXiv: 1605.00832.
  16. *Leeuwen M.A.A. v., Cohen A.M., Lisser B.* LiE: A package for Lie group computations. Amsterdam: Computer Algebra Nederland, 1992.
  17. *Oliphant T.E.* Python for Scientific Computing // \BibEmph{ComputinginScienceandEngineering}. 2007. V. 9. № 3. P. 10–20.
  18. *Ландау Л.Д., Лифшиц Е.М.* Теория поля. Теоретическая физика. Т. II. 8-е изд. М.: Физматлит, 2012. 536 с.
  19. *Perea F., Granger B.E.* IPython: A System for Interactive Scientific Computing // \BibEmph{ComputinginScienceandEngineering}. 2007. V. 9. № 3. P. 21–29.
  20. {Thetest/markdownMediaType}: RFC/RFC Editor; Executor: *S. Leonard*: 2016.
  21. *Lamy R.* Instant SymPy Starter. Packt Publishing, 2013. 52 p.
  22. *Мизнер Ч., Торн К., Уилер Дж.* Гравитация. Мир изд. М., 1977. Т. 1. 474 с.
  23. *Tosi S.* Matplotlib for Python Developers. Packt Publishing, 2009. 308 p.
  24. *Vaingast S.* Beginning Python visualization: crafting visual transformation scripts. Springer, 2009. 384 p.
  25. *Müller A.C., Guido S.* Introduction to Machine Learning with Python: A Guide for Data Scientists. O'Reilly Media, 2016. 285 p.
  26. *Idris I.* NumPy Cookbook. Packt Publishing, 2012. 226 p.
  27. *Oliphant T.E.* Guide to NumPy. 2 edition. CreateSpace Independent Publishing Platform, 2015. 364 p.